

# Рак нирки: пошук універсального маркера

О.Б. Банира<sup>2</sup>, О.О. Стой<sup>1</sup>, О.В. Шуляк<sup>1</sup>

<sup>1</sup>Львівський національний медичний університет ім. Данила Галицького

<sup>2</sup>2-га Комунальна міська поліклініка м. Львова

Рак нирки — поширена онкоурологічна патологія. За останнє десятиріччя в Україні та у багатьох країнах світу спостерігається стійка тенденція до поступового зростання захворюваності на рак нирки. В той час, коли вже широко застосовуються маркери пухлинного росту для діагностування та контролю за перебігом раку передміхурової залози, сечового міхура, яєчка, роботи з пошуку маркера раку нирки перебувають лише на початковому етапі. У оглядовій статті висвітлено результати основних сучасних досліджень, спрямованих на пошук маркера раку нирки, виділено основні ймовірні претенденти на цю роль.

**Ключові слова:** рак нирки, маркер, мікро-РНК.

## Вступ

Застосування маркерів пухлинного росту сприяє ранньому виявленню різних онкологічних захворювань, дозволяє проводити скринінг їх вилікованості та моніторинг відповіді на медикаментозну терапію. Такі маркери онкоурологічних захворювань, як PSA (prostate-specific antigen) при раку передміхурової залози, NMP (nuclear matrix protein)-22 при раку сечового міхура, α-фетопротеїн, хоріонічний гонадотропін і лактатдегідрогеназа при раку яєчка, вже давно відомі фахівцям та широко застосовуються у діагностиці та моніторингу цих захворювань. Безумовно, рак нирки (renal cell carcinoma — RCC) як поширена онкоурологічна патологія також потребує виявлення власного маркера, оскільки його впровадження допоможе встановлювати цей діагноз на початкових стадіях, що значно полегшувало б лікування цієї категорії пацієнтів та підвищувало б їх виживаність. Адже відомо, що за умови виявлення RCC на стадії pT1 та після проведення органо-зберігаючого втручання виживаність пацієнтів висока. Порівнюючи показники трирічної онкоспецифічної виживаності у 1800 пацієнтів із RCC стадії T1N0M0 I.S. Gill та співавтори (2007) відзначали практично однакові показники: 99,3% у групі лапароскопічної резекції нирки та 99,2% — у групі її відкритої резекції.

Нешодівно була запропонована така класифікація біомаркерів RCC залежно від кінцевої мети, з якою вони можуть застосовуватися (Li M., Rathmell W.K., 2012):

а) біомаркери раннього виявлення — дозволяють проводити скринінг пацієнтів на наявність у них RCC;

б) діагностичні біомаркери — дозволяють визначити гістологічний тип RCC, а також підтвердити чи виключити діагноз RCC;

в) прогностичні біомаркери — виявляють певні ознаки, які корелюють з особливостями клінічного перебігу пухлини та/чи клінічним прогнозом;

г) біомаркери передбачення — дозволяють передбачити рівень терапевтичної

відповіді на лікування та проводити моніторинг ефективності медикаментозного лікування.

Після встановлення складових канцерогенезу RCC, систематизації його механізмів та підходів до медикаментозної терапії (Rini B.I., Small E.J., 2005; Баныра О.Б., Шуляк А.В., 2011; Возіанов С.О. та співавт., 2011) природним є очікувати на зміни концентрацій компонентів, відповідальних за цей процес, у тканинах пухлини, а також у біологічних рідинах організму хворого на RCC порівняно зі здорововою тканиною нирки і біологічними рідинами здорової людини. Логічним також є очікувати на зміни концентрацій канцерспецифічних субстратів у біологічних середовищах пацієнтів на фоні позитивної терапевтичної відповіді на прийом таргетних препаратів. Можливість визначення вмісту канцерспецифічних субстратів з'явилася за останнє десятиріччя завдяки досягненням у галузях молекулярної біології, генетики, біохімії та появи новітніх діагностичних методик. Принциповим є вид біологічного середовища, у якому визначається наявність кожного субстрату (маркера). Залежно від досліджуваного матеріалу розрізняють такі групи потенційних діагностичних маркерів RCC:

а) тканинні маркери, які визначаються у зразках тканин, отриманих під час прицільних біопсій підозрілих ділянок нирки (ген VHL (von Hippel — Lindau), HIF (hypoxia-inducible factor) 1α, VEGF (vascular endothelial growth factor), кавеолін (caveolin)-1, miR (microRNA), сурвівін (survivin), CA (carbonic anhydrase) IX, PTEN (phosphatase and tensin homolog), тирозинкінази S6K та Akt, гени EMCN (endomucin), NOS (nitric oxide synthase) 3, CCL (chemokine (C-C motif) ligand) 5 та CXCL (chemokine (C-X-C motif) ligand) 9 та ін.);

б) маркери крові, які визначаються у сироватці крові пацієнтів (VEGF, CA IX, miR та ін.);

в) маркери сечі, які визначаються у сечі пацієнтів (NMP (nuclear matrix protein)-22, hKIM (human kidney injury molecule)-1).

Встановлення цінності у діагностуванні RCC кожного із зазначених маркерів знаходиться на різних етапах.

Нешодівно опубліковані наукові праці, в яких демонструється прогностична цінність окремої групи пухлинних маркерів — «функціональних фізіологічних біомаркерів прогнозування перебігу RCC», таких, як індекс маси тіла (IMT) та асоційована з лікуванням гіпертензія (treatment-associated hypertension — HTN). У пацієнтів із надмірною масою тіла та IMT >30 кг/м<sup>2</sup> на фоні VEGF-націленої таргетної терапії спостерігається вища медіана загальної виживаності, ніж у пацієнтів без надмірної маси тіла на фоні такого ж лікування: 32,5 міс порівняно з 20,6 міс (Choueiri T.K. et al., 2010). Асоційована з лікуванням гіпертензія на фоні терапії сунітинібом або комбінацією бевасизумаб + інтерферон альфа корелює із медіанами виживаності без прогресії та загальної виживаності і є сприятливою прогностичною ознакою (Harzstark A.L. et al., 2010; Rini B.I. et al., 2011).

Найбільша доведена цінність у діагностичному характері для RCC змін притаманна тканинним маркерам та маркерам крові; завдяки зручності забору досліджуваного матеріалу, а також можливості застосування з метою скринінгу і достатньо високій об'єктивності, саме серед маркерів крові, з найбільшою ймовірністю, буде виявлено універсальний маркер RCC.

## Тканинні маркери

### Ген Гіппеля — Ліндау (VHL)

Встановлено, що вроджені чи набуті мутації гена VHL наявні майже у 90% пацієнтів зі спорадичним світлоклітинним (clear cell — cc) RCC, а виявлення факту цих мутацій у пацієнта є ознакою високого ризику виникнення ccRCC (Brauch H. et al., 2000). Щоправда, стан VHL свідчить про наявний певний генетичний дефект та лише вказує на схильність до виникнення ccRCC, але не може бути біомаркером раннього виявлення чи прогнозування

ефективності медикаментозної таргетної терапії.

Ступінь мутацій гена *VHL* не корелює з рівнем терапевтичної відповіді на терапію пазопанібом або акситинібом у пацієнтів з метастатичним ccRCC (Gad S. et al., 2007; Hutson T.E. et al., 2008).

### Гіпоксія-індуцильний фактор 1 (HIF 1)

HIF 1 — фактор транскрипції білка, основний регулятор адаптації клітин до умов гіпоксії. Він складається з 2 субодиниць: HIF 1 $\alpha$  та HIF 1 $\beta$ . HIF 1 $\alpha$  — компонент, наявність якого регулюється залежно від на- синості тканини киснем та функції гена *VHL*. При нормальній чи підвищенні концентрації  $O_2$  та нормальній функції *VHL* білковий продукт гена *VHL* — pVHL за участю ферменту убіквітін- $E_3$ -лігази зв'язується з протеїногенною амінокислотою гідроксипроліном (hydroxyproline — Hp) та убіквітіновим гіпоксія-індуцильним фактором HIF 1 $\alpha$ , що призводить до деградації HIF 1 $\alpha$  у протеасомі 26S (рис. 1).

У разі порушень функції гена *VHL* не синтезується білковий продукт цього гена — pVHL, що запобігає утворенню комплексу pVHL + Hp + HIF 1 $\alpha$ . Подібна ситуація виникає в умовах тканинної гіпоксії, коли не відбувається повне убіквітінування HIF 1 $\alpha$  та не утворюються комплекси pVHL + Hp + HIF 1 $\alpha$  зі всіма субодиницями HIF 1 $\alpha$ . Наслідком обох цих процесів є підвищення концентрації вільного HIF 1 $\alpha$  у тканинах, його накопичення, димеризація HIF 1 $\alpha$  з ізоформою HIF 1 $\beta$ , що призводить до транскрипції гіпоксієїндукованих генів, експресії судинного фактору росту VEGF і фактора росту тромбоцитів (platelet-derived growth factor — PDGF) та як наслідок — активації процесів ангіогенезу (Na X. et al., 2003) (рис. 2).

Отже, у разі порушення функції гена *VHL* та/чи при тривалій гіпоксії підвищується концентрація HIF 1 $\alpha$  у нирковій паренхімі. Саме аберантна функція гена *VHL* характерна для більшості випадків виникнення ccRCC (Brauch H. et al., 2000). A. Lidgren та співавтори (2006) відзначили прогнозічну цінність рівня HIF 1 $\alpha$  при ccRCC ( $p=0,02$ ) та відсутність цієї цінності — у разі папілярного раку ( $p=0,2$ ). T. Klatte та співавтори (2007) встановили, що виживаність серед пацієнтів зі ccRCC з вищими рівнями HIF 1 $\alpha$  нижча, ніж у пацієнтів із нижчими рівнями HIF 1 $\alpha$  у тканинах пухлин.

Хворі з підвищеними рівнями HIF 1 $\alpha$  у тканинах пухлин нирок демонструють об'єктивну терапевтичну відповідь на терапію сунгітінібом, а пацієнти з низькими рівнями цього маркера або ж його відсутністю — резистентні до таргетної терапії із застосуванням сунгітінібу (Patel P.H., 2008).

У нормі у процесах деградації HIF 1 $\alpha$  поряд із pVHL бере участь також внутрішньоклітинний ензим пролін-гідроксилаза (prolyl hydroxylase domain — PHD). T. Tanaka та співавтори на 27-му щорічному Конгресі Європейської асоціації урологів (European Association of Urology — EAU) у 2012 р. представили результати власних досліджень з вивчення співвідношень експресії рівнів PHD3 у тканинах видалених пухлин нирки

у 133 пацієнтів та медіана виживаності без прогресії захворювання (progression-free survival — PFS). Відзначено, що 5-річна PFS у PHD3-позитивних пацієнтів становила 90,8%, водночас у PHD3-негативних досліджуваних цей показник становив 69,9% ( $p=0,0032$ ). Підсумовано, що рівні експресії PHD3 у тканинах видалених пухлин нирки можуть бути незалежним прогнозічним маркером PFS у пацієнтів із RCC (співвідношення ризиків 0,354; 95% довірчий інтервал 0,132–0,944;  $p=0,038$ ).

### Хемокіновий рецептор CXCR4 (C-X-C chemokine receptor type 4)

Мутації гена *VHL* значно підвищують транскрипцію HIF-індуцильних генів та рецепторів. З-поміж різних адгезивних клітинних рецепторів, які беруть участь у канцерогенезі RCC, важливим є хемокіновий рецептор CXCR4 (Staller P. et al., 2003). Рівень експресії CXCR4 регулюється рівнями pVHL та HIF 1 $\alpha$ . Чим вищі рівні HIF 1 $\alpha$  у тканині, тим більша експресія CXCR4. Підвищення рівня експресії CXCR4 завжди супроводжує порушення функції *VHL*, а стійке підвищення є ознакою несприятливого прогнозу перебігу ccRCC (D'Alterio C. et al., 2010). Гіперекспресія CXCR4 підвищує здатність пухлини до проникнення крізь міжтканинні бар'єри, до міграції в інші органи та метастазування. Рівень експресії цього рецептора корелює з поширенням пухлинного ураження при RCC (Wehler Th.C. et al., 2008).

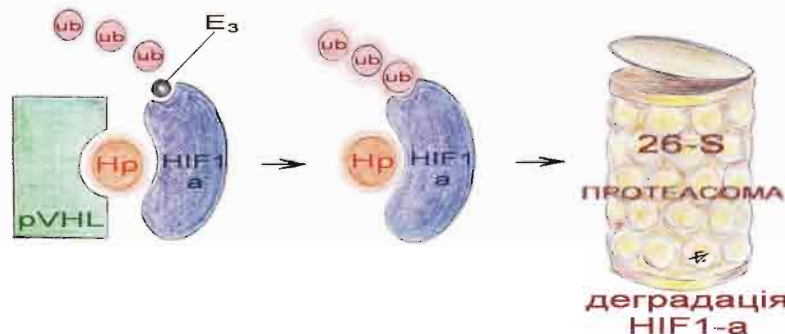
### Сурвівін (survivin)

Характерною особливістю канцерогенезу є deregуляція апоптозу. Сурвівін (baculoviral inhibitor of apoptosis repeat-containing 5 — BIRC5) — представник сімейства протеїнів — інгібіторів апоптозу (inhibitors of apoptosis — IAP), має властивості контролювати мітотичну прогресію та індукувати зміни в експресії генів, відповідальних за інвазивну здатність клітин пухлини. Сурвівін селективно експресується під час ембріогенезу та подальшого розвитку організму новонародженого. Після завершення нормального генетично запрограмованого розвитку організму цей протеїн практично не визначається в нормі або ж експресується у вкрай низьких концентраціях у нормальних тканинах здорової людини. Водночас сурвівін гіперекспресований у разі карциноми уретелію, раку простати (Shariat S. et al., 2004a; b; 2009) та в усіх випадках RCC (Mahotka C. et al., 2002). Вищі рівні експресії сурвівіну асоціюються з нижчою диференціацією ракових клітин, більш агресивним перебігом захворювання та нижчою виживаністю при ccRCC. У разі гіперекспресії сурвівіну при локалізованих формах RCC прогноз несприятливий, це прогнозічний фактор високої імовірності прогресії захворювання (Zamparese R. et al., 2008).

### PTEN

PTEN (phosphatase and tensin homolog) є білком — супресором пухлинного росту, який кодується геном — супресором кан-

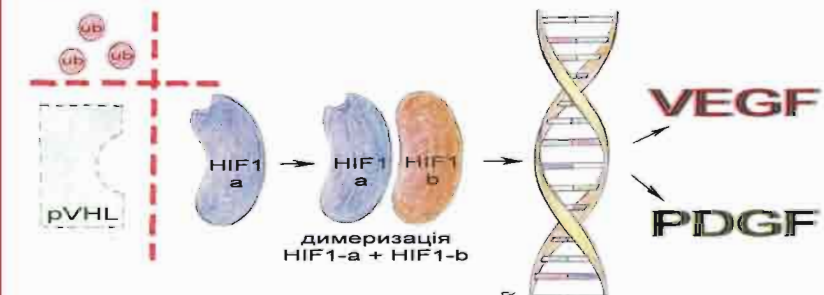
Рис. 1



Деградація HIF 1 $\alpha$  при збереженій функції *VHL* та нормальній чи підвищенній концентрації  $O_2$  у тканинах.  $E_3$  — убіквітін- $E_3$ -лігаза

На рис. 1 і 2: ub — убіквітін

Рис. 2



Механізм експресії факторів росту при порушеній функції *VHL* та/чи тканинній гіпоксії

церогенезу PTEN. На противагу mTOR (mammalian target of rapamycin — мішень для рапаміцину у ссавців), фосфатаза PTEN регулює mTOR-механізм шляхом інгібіції фосфорилювання Akt у PI3K (phosphatidylinositol 3-kinase), тобто зупиняє переворотення Akt → PI3K (Brenner W. et al., 2002, Velickovic M. et al., 2002). Зниження рівнів PTEN відзначається при процесах канцерогенезу та асоціюється із несприятливим прогнозом при RCC. Вища експресія PTEN відзначається на початкових стадіях RCC, при локалізованих його формах. Високі рівні PTEN у тканині пухлини спочатку вважались ознакою сприятливого прогнозу захворювання (Pantuck A.J. et al., 2007). Проте, після недавніх досліджень із зачленням більшої кількості пацієнтів, кореляція між експресією PTEN у пухлині та рівнем терапевтичної відповіді на лікування і виживання не встановлена (Figlin R.A. et al., 2009; Abou Youssif T. et al., 2010).

### Мішень для рапаміцину у ссавців (mTOR) та фосфорилювані тирозинкінази pS6K і pAkt

Мішень для рапаміцину у ссавців (mammalian target of rapamycin — mTOR) — внутрішньоклітинний ензим, що активує кінази, відповіальні за підтримання життєдіяльності клітин пухлини. Цей ензим існує вигляді двох сигнальних комплексів: mTORC1, який відповідає за інтрацелюлярний синтез протеїнів, та mTORC2, що бере участь у формуванні цитоскелету.

Після активації протеїнкіназ (protein kinase — PK) Ca i Akt/PKB за участю mTOR зростає синтез біоактивних протеїнів — HIF 1 $\alpha$  та цикліну D. Гіперпродукція HIF 1 $\alpha$ , у свою чергу, стимулює експресію VEGF та PDGF, як було зазначено раніше (див. рис. 2). Молекули mTOR, відповідно, активуються під впливом стимуляції позаклітинних рецепторів тирозинкіназ факторами росту внаслідок інгібіції генів — супресорів пухлинного росту та безпосередньо дією онкогенів (Faivre S. et al., 2006). Концентрацію mTOR опосередковано можна визначати, вимірюючи концентрації у тканинах тирозинкіназ, які активуються mTOR.

Тирозинкіназа S6K — складова mTOR-механізму. Активований mTOR фосфорилює S6K, перетворюючи її у фосфорилювану форму (pS6K), відповідельну за ініціацію трансляції протеїнів всередині клітини. Експресія pS6K корелює зі ступенем ядерної атипії у клітинах пухлини, стадією захворювання, наявністю метастазів та канцерспеціфічною виживаністю. Дослідженнями, яким проводил терапію темсиролімусом, D. Cho та співавтори у 2007 р. прийшли до висновку, що обидві ці фосфорилювані тирозинкінази можна вважати біомаркерами прогнозування ефективності mTOR-спрямованої терапії.

Інша складова mTOR-механізму — тирозинкіназа Akt, яка регулює клітинний ріст і виживаність завдяки своїй здатності до фосфорилювання ряду внутрішньоклітинних молекул, серед яких і mTOR. Вища експресія фосфорилюваної Akt (pAkt) у кліти-

них ядрах первинної пухлини вважається показником сприятливого прогнозу, а висока експресія цієї тирозинкінази в цитоплазмі клітин пухлини — навпаки, несприятливою прогнозичною ознакою (Pantuck A.J. et al., 2007). Щоправда, недавні праця T. Abou Youssif та співавторів (2010) демонструє відсутність прогностичної цінності визначення експресії Akt у разі метастатичної форми RCC, на відміну від корисності застосування цього прогностичного маркера при локалізованій формі.

### Експресія генів у тканині пухлини нирки

За допомогою імуногістохімічних методів B.I. Rinii та співавтори (2010) вивчали профілювання експресії генів при локалізованому ccRCC. Дослідники порівнювали експресію 732 генів у кожному із 931 зразка пухлини та період без рецидивів захворювання (recurrence-free interval — RFI), тобто проміжок часу від нефректомії з приходу ccRCC до першого рецидиву захворювання або до exitus lethalis з приводу ccRCC. Медiana спостереження становила 5,6 року. Дослідження властива 80% достовірність із похибкою (співвідношення ризиків (CP)  $\geq 1,3$ ). Із використанням мультиваріантного аналізу авторами встановлено, що рівні експресії 16 генів чітко корелюють із RFI (CP 0,68–0,80). При цьому підвищення експресії генів, які беруть участь у процесах ангіогенезу (EMCN та NOS3), і генів, відповідальних за імунний статус (CCL5 та CXCL9), асоціюється із низьким ризиком рецидиву захворювання. Похибка не відрізняється від досліджень із використанням інших прогностичних маркерів. Авторами підсумовано, що результати цього дослідження дозволяють сподіватися на успішне створення мультигенного алгоритму для прогнозування імовірності рецидивування ccRCC.

### Мікро-РНК (micro RNA — miRNA, miR)

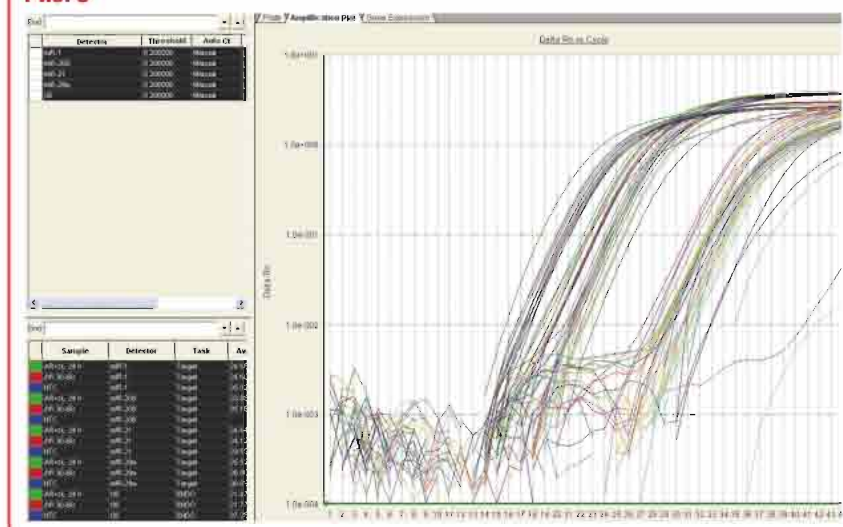
Короткі молекули miRNA складаються у середньому із 22 (18–25) нуклеотідів та

наявні у клітинах еукаріотів. Геном людини здатний кодувати близько 1800 miRNA, які нащільні практично на усі наявні в людському організмі гени. Функцією miRNA є посттрансляційна регуляція експресії протеїнів, що здійснюється шляхом пригнічення трансляції або супресією генів-мішеней. В останні роки з'явилися дослідження, які підтверджують здатність miRNA не лише пригнічувати синтез протеїнів, але й стимулювати його шляхом активації процесів транскрипції та трансляції. Різні miRNA у нормі експресовані в усіх тканинах. Рівень їх експресії залежить від функції та стану клітин. Визначати концентрації miRNA можна як у зразках тканин, так і в біологічних рідинах організму (кров, сечя тощо). Для визначення абсолютних показників експресії, а також співвідношень концентрацій різних miRNA («профілювання miRNA») найчастіше застосовується методика, що ґрунтуються на полімеразній ланцюговій реакції (ПЛР): кількісна методика зворотної транскрипції — ПЛР (quantitative reverse transcription — polymerase chain reaction, qRT-PCR).

Визначати абсолютні показники експресії miRNA можна також, застосовуючи автоматизовану методику TaqMan. Після опрацювання зразків досліджуваних субстратів результати відображаються у вигляді відповідних графіків (рис. 3).

Безсумнівною перевагою визначення маркерів у тканинах біоптату (за умови здійснення вдалої прицільної біопсії) є можливість визначати *in vitro* зміни концентрації цих маркерів під впливом локально-го нанесення у тканину пухлини протипухлинного препарату. Ця властивість тканинних маркерів корисна як при визначенні ефективності вже відомих, зареєстрованих лікарських засобів, так і під час експериментальних досліджень. Так, недавнє дослідження P. Pineau та співавторів (2009) демонструє, що гіперекспресія miR-221 та miR-222 стимулює канцерогенез гепатокарциноми. Спеціально синтезовані антагоністи miR-221 та miR-222 (anti-miR-221

Рис. 3



Результати визначення експресії декількох miRNA в культівованих кардіоміоцитах щура із застосуванням TaqMan-методики на апараті «Fast Real-time PCR System» («Applied Biosystems», США)

та antimiR-222) після введення у тканину пухлини печінки викликають редукцію клітинного росту на 35 та 22% відповідно. Ці дані дають поштовх не лише до встановлення специфічних miRNA-маркерів онко-захворювань, але й до розробки таргетних препаратів, спрямованих на miR-ланку канцерогенезу при різних формах раку.

Вивчення рівнів експресії певних видів miRNA при різних формах раку, а також можливості створення препаратів, спрямованих на mRNA-ланку канцерогенезу, зараз інтенсивно досліджуються, деякі результати вже оприлюднені (Li C. et al., 2009).

Доведено, що визначення профілю miRNA дозволяє встановлювати схильність хронічної лейкемії як до доброкісного, так і до агресивного, злоякісного перебігу (Mraz M. et al., 2009). Тривають дослідження з визначення діагностичної цінності miRNA для виявлення ранніх форм колоректально-го раку. Перевагами цього методу діагностики є неінвазивність, незначна кількість крові, необхідної для дослідження (<1 мл), низька вартість, можливість відбирасти за результатами тестування групи пацієнтів із високою імовірністю наявності раку кишечнику та подальшою прискіпливою колоноскопією для встановлення локалізації пухлини (Nielsen B.S. et al., 2011).

Якщо доведена експресія miRNA при різних формах раку, то, ймовірно, варто очікувати зміни концентрацій певних miRNA і при RCC. В 2008 р. С. Nakada та співавтори після аналізу рівнів експресії основних 470 miRNA констатували, що при ccRCC 43 miRNA експресовані не так, як у пацієнтів зі здоровими нирками. З-поміж цих аберантно експресованих 43 miRNA концентрації 37 miRNA були знижені, а концентрації 6 miRNA — навпаки, підвищені. Відзначено, що максимальне зниження концентрацій при ccRCC характерне для miRNA-141 та miRNA-200c.

Прогностична цінність miRNA-200c підтверджується також дослідженням D.C. Vergho та співавторів (2012), яке демонструє, що експресія цієї miRNA знижена у 85% хворих на RCC із простанням пухлини у вена cava inferior, причому чим нижча її експресія, тим гірший прогноз захворювання. Варто також зазначити, що вже доведено вплив miR-200c на експресію фактора росту VEGF, який, у свою чергу, стимулює процеси ангіогенезу пухлини. Якщо експресія miR-200c знижується, концентрації VEGF у тканинах зростають, що стимулює розвиток судинної сітки пухлини. Схожа антикореляція відзначається між експресією miR-141 та концентрацією онкогена Semaphorin-6A (SEMA6A) (Liu H., 2010).

V.A. Valera та співавтори у 2011 р. оприлюднили результати дослідження регуляторного впливу miR-92 на експресію гена VHL, а також активізації miR-210 під впливом гіпоксії. Досліджували зразки біоптатів пухлин у 46 хворих із пухлинами нирки. Після профілювання miRNA відзначено зворотну кореляцію між експресією miR-92 та гена VHL. У зразках ccRCC зафікована значна гіперекспресія miR-210, тоді як у зразках несвітлоклітинних форм RCC цієї

гіперекспресії не відзначалося. Тобто гіперекспресія miR-210 може розглядатися як імовірний маркер ccRCC.

M. Tsukiggi та співавтори у 2011 р. на щорічній зустрічі Американського товариства клінічної онкології (American Society of Clinical Oncology — ASCO) доповіли про свої результати дослідження експресії miR-199a у тканинах пухлин нирок та у здорових тканинах нирок. Констатовано зниження експресії цієї мікро-RНК у 57% зразків ccRCC, причому це зниження корелює зі стадією захворювання та акумуляцією в ядрі клітин glycogen synthase kinase (GSK)-3β — чинника, який сприяє проліферації клітин RCC і подовжує їх виживаність. Заслуговує на увагу такий результат цього дослідження: введення у тканину пухлини нирки *in vitro* попередника та агоніста досліджуваної miRNA, а саме — pre-miR-199a, викликає зниження концентрації у зразках GSK-3β та супресію проліферації клітин раку нирки зі скороченням їх виживаності. Автори підсумували, що зниження експресії miR-199a корелює з підвищенням злоякісного потенціалу RCC, ця miRNA може розглядатися як один із маркерів RCC у перспективі, а використання pre-miR-199a може бути однією зі стратегій у лікуванні цього захворювання.

Застосування з подібною метою імовірне і для miR-135a. За даними K. Kawakami та співавторів (2011a), експресія miR-135a у зразках біоптатів із RCC суттєво знижена порівняно з нормою, а відновлення концентрації цієї miRNA після введення ззовні у досліджуваний біоптат *in vitro* викликає зупинку клітинного циклу злоякісних клітин.

J. Heinzelmann та співавтори у 2012 р. доповіли про власні дослідження експресії miRNA у зразках пухлин нирок (44 зразки пухлин, з них — 22 пухлини без метастазування та 22 пухлини із метастазуванням) та їх метастазів (21 зразок). Результати дослідження демонструють, що експресія miR у пухлинах, схильних і не схильних до метастазування, є різною. Цікавим результатом є встановлення хожості експресії різних miR між первинною пухлиною та її метастазами. Авторами виділено дві miRNA: miR-30c та miR-451, які по-різному експресовані у пухлинах із метастазуванням та без нього, що дозволяє використовувати їх як маркери локалізованих та дисемінованих форм RCC. На фоні штучного підвищення концентрацій

miR-30c у досліджуваних зразках пухлин *in vitro* пригнічувалися процеси клітинної міграції, що вказує на можливу цінність цієї miRNA як таргетного препарата у лікуванні метастатичного RCC.

На наш погляд, особливої уваги заслуговує дослідження Y.M. Youssef та співавторів (2011), які, базуючись на результатах miR-профілювання у 94 пацієнтів, розробили оригінальну поетапну методику діагностування RCC та встановлення його гістологічного типу. Ця методика дозволяє із чутливістю до 97% віддиференціювати RCC від здорової ниркової тканини. При подальшому встановленні гістологічного підтипу RCC чутливість виявлення ccRCC раку становить 100%, папілярного (papillary (p)RCC) — 97%. З точністю до 100% вдається віддиференціювати наявність у пацієнта доброкісної онкоцитоми нирки від хромофонного раку (chromophobe (ch)RCC). Аналізуючи молекулярні складові різних гістологічних підтипів RCC та онкоцитоми, автори прийшли до висновку, що розвиток ccRCC за механізмами та молекулярними складовими подібний до pRCC, в той час як механізми розвитку та молекулярні характеристики chRCC подібні до таких при онкоцитомі.

Суть запропонованої методики полягає в оцінці співвідношень концентрацій певних пар miRNA у кожного пацієнта. Залежно від взаємовідношень концентрацій miRNA у декількох парах (тобто від того, концентрація якої саме miRNA переважає в конкретній парі) і визначається наявність у пацієнта нормальній ниркової паренхіми або ж наявність у нього пухлини нирки певного гістологічного типу ([таблиця](#)).

На першому етапі, після аналізу співвідношень концентрації у кожній із 6 пар miRNA, відбувається принципова диференціація пацієнтів із пухлинами нирки від пацієнтів, у яких відсутні новоутвори у паренхімі нирок. Здійснюється порівняльна характеристика співвідношень концентрації 6 стандартних пар miRNA. Експериментальним шляхом попередньо було визначено, що у зразках нормальній тканини нирок найчастіше зберігаються такі співвідношення концентрацій miRNA: miR 200c > miR 222; miR 194 > miR 15b; miR 324-5p > miR34a; miR 500 > miR 425; miR 10b > miR 28-3p; miR 532-5p > miR 93.

Тому для достовірного аналізу стану ниркової паренхіми визначають співвідношення miRNA у всіх 6 парах, та, якщо більшість вищеведених співвідношень збе-

Таблиця

Поетапне визначення гістологічного типу RCC за методикою Y.M. Youssef та співавторів (2011)

1-й етап	Пари miRNA, які порівнюються	miR 200c > miR 222; miR 194 > miR 15b; miR 324-5p > miR34a; miR 500 > miR 425; miR 10b > miR 28-3p; miR 532-5p > miR 93
2-й етап	Діагноз	норма*
2-й етап	Пари miRNA, які порівнюються	miR-194 > miR-548, miR-192 > miR-221, miR-424 > miR-183
3-й етап	Діагноз	ccRCC*
3-й етап	Пари miRNA, які порівнюються	miR-181b > miR-663, miR-100 > miR-182, miR-15a > miR-222
3-й етап	Діагноз	miR-195 > miR-10a, miR-26b > let-7g
3-й етап	Пари miRNA, які порівнюються	mir-331-3p > miR-139-5p, miR-191 > miR-221, miR-106a > miR-663
4-й етап	Діагноз	pRCC*
4-й етап	Пари miRNA, які порівнюються	miR-99a > miR-200b, miR-22 > miR-183, miR-625 > miR-1300
4-й етап	Діагноз	chRCC*, онкоцитома*

\*Діагноз, що встановлюється на відповідному етапі.

режена, констатується відсутність пухлинних змін у паренхімі нирок. І навпаки, якщо в більшості пар зазначені співвідношення miRNA не визначаються, діагностується наявність пухлини.

Якщо на першому етапі виявлено не-відповідність концентрацій miRNA харктеристикам здорової тканини нирок, тоді йдеється про наявність у пацієнта пухлинних змін у нирках, і за подібним алгоритмом, але із визначенням співвідношень концентрації вже інших пар miRNA, зазначених у таблиці, відбуваються наступні 3 етапи діагностики, які дозволяють визначити гістологічний тип пухлини нирки.

Другий етап діагностики дозволяє від-диференціювати ccRCC від групи пухлин, до якої входять pRCC, chRCC та онкоцитома. Для цього за аналогічною першому етапу методикою вивчається співвідно-шення у інших 8 парах miRNA.

Якщо на другому етапі не було визна-ченено наявність ccRCC, застосовується третій етап діагностики, який дозволяє віддиференціювати pRCC від групи: chRCC + онкоцитома.

I, зрештою, у разі, якщо із застосуванням профілювання miRNA та визначення співвідношень їх концентрацій не виявлено вищенаведених форм RCC, відбувається завершальний, четвертий етап діагностики, на якому chRCC диференціюється від онко-цитоми.

### Маркери крові

У діагностичному плані маркерам крові належить перевага порівняно з тканинними маркерами, оскільки технічно набагато про-стіше здійснити забір крові у пацієнта для дослідження, ніж проводити прицільні біопсії із залученням додаткового інструментарію, спеціально навченого персоналу, застосуванням анестезії. Зрозуміло, що ці переваги зумовлюють також нижчу собівартість аналі-зів для визначення маркерів крові порівняно із тканинними маркерами. Недоліками ви-значення тканинних маркерів також можна вважати неможливість їх широкого застосу-вання для скринінгових досліджень у великих популяціях, відносно низьку об'єктивність прицільних біопсій пухлин нирки на стадії T1a (як відомо, її об'єктивність не перевищує 70–80,6%), що не гарантуює отримання біоптата саме з ділянки новоутворення (Russo P. et al., 2008; Volpe A. et al., 2008).

Особливістю маркерів крові, що роз-глядаються як можливі маркери раку нир-ки, є те, що вони можуть також визначати-ся у тканинах досліджуваних пацієнтів. Частина наукових досліджень ґрунтуються саме на такому одночасному подвійному визначення концентрацій маркерів: у сиро-ватці крові та у тканинах біоптату. В той же час більшості вищеописаних тканинних маркерів властива інформативність лише при локальному їх визначення у тканинах нирки, а у кров'яному руслі ці субстрати не репрезентовані достатньою мірою, щоб діагностувати RCC.

### miRNA

K. Kawakami та співавтори (2011b) ви-мірювали концентрації miR-1 та miR-133a

у біологічних рідинах та зразках біоптатів у 40 пацієнтів із RCC, використовуючи діагностику за допомогою ПЛР. Відзначено, що рівні цих miRNA у хворих на RCC значно знижені порівняно зі здоровими дослідjuваними. Цікавим результатом дослідження є встановлення факту вираженої інгібіції процесів клітинної проліферації, інвазії клітин пухлини у тих ділянках біоптатів пухлини, де локальним введенням відновлювалися концентрації miR-1 та miR-133a. Більше того, у цих ділянках пухлини зі штучно підвищеними концентраціями зазначеніх miRNA спостерігалася індукція апоптоzu ракових клітин та зупинка їх клітинного циклу. Із використанням люциферазного аналізу було визначено, що мішеню обох досліджуваних miRNA є онкоген трансгелін-2 (transgelin-2 — TAGLN2). Встановлено інверсну кореляцію гена TAGLN2 та miR-1 і miR-133a, тобто у зразках хворих на RCC поряд зі зниженням концентрацій наведених двох miRNA відзначається підвищення концентрації онкогена TAGLN2. Отримані дані відкривають перспективи для дослідження із таргетної терапії RCC із використанням певних miRNA.

За даними L.M. Wulfken та співавторів (2011), miR-1233 експресована у пацієн-тів із RCC. Чутливість цього маркера сягає 77,4%, специфічність — 37,6%. У процесі дослідження у 30 здорових пацієнтів та у 33 хворих на RCC визначалися рівні 7 miRNA (miR-7-1, miR-93, miR-106b, miR-210, miR-320b, miR-1233 i miR-1290) у тканинах біоптату та у сироватці крові. Для вимірювання концентрації miRNA застосовували методику кількісного визначення ПЛР за допомогою TaqMan MicroRNA Assays. Одночасно дослідники визначали концентрації цих же miRNA у 13 хворих — з ангіоміоліпомами ( $n=3$ ) та онкоцитомами ( $n=10$ ). Відзначено, що концентрації досліджуваних miRNA у цих 13 зразках були подібними до концентрацій у хворих на RCC.

За останні роки проведено ще декілька досліджень щодо визначення концен-трації miRNA у хворих на RCC. F. Gottardo та співавтори у 2007 р. дослідили експресію 245 miRNA у пацієнтів із RCC та раком сечового міхура. Встановлено факт суттєвих відмінностей у експресії таких miRNA: miR-28, miR-185, miR-27, miR Let-7i-2 у зразках хворих на RCC порівняно зі здоровими досліджуваними. С. Nakada та співавтори у 2008 р. після аналізу рівнів експресії основних 470 miRNA констатували, що при ccRCC знижена експресія miRNA-141 та miRNA-200c порівняно зі здоровими пацієнтами. За даними O. Slaby та співавторів (2010), miRNA-106b може вважатися потенційним маркером, який дозволяє діагностувати появу ранніх метастазів після нефректомії у пацієнтів із RCC.

За даними M. Redova та співавторів (2012), рівні miR-378 у сироватці крові хворих на RCC підвищені ( $p=0,0003$ , площа під кривою — area under curve — AUC) = 0,71, а рівні miR-451, навпаки, знижені ( $p<0,0001$ , AUC = 0,77) у порівнянні зі здоровими досліджуваними. Одночасне визначення концентрацій miR-378 та miR-451 у сиро-

ватці крові дозволяє ідентифікувати RCC у досліджуваних пацієнтів із чутливістю 81% та специфічністю 83% (AUC = 0,86).

Усі вищенаведені дослідники відзна-чають перспективність визначення експресії miRNA у діагностиці RCC та ранніх метастазів після нефректомії з приводу RCC, а також схиляються до думки про не-обхідність більшої кількості досліджень у цьому напрямку із залученням великої кількості пацієнтів. Цей метод діагностики RCC може бути корисним як для встановлення діагнозу RCC, так і для визначення гістологічного підтипу раку ще до опера-тивного втручання та патогістологічного дослідження.

### Судинний ендотеліальний фактор росту (VEGF)

Рівні VEGF у плазмі крові прямо корелюють із рівнями експресії VEGF у тканинах ( $p=0,01$ ) (Riouxi-Leclercq N. et al., 2007). Важливим є те, що сироваткові рівні VEGF корелюють із клінічною стадією ccRCC та ступенем ядерної атипії за шкалою Fuhrman (Jacobsen J. et al., 2000; Klatte T. et al., 2007; Rioux-Leclercq N. et al., 2007), судинною інвазією ( $p=0,03$ ), розмірами пухлини ( $p=0,01$ ) та виживаністю. Так, удо-сліджені, проведенню S. Negrier та співавторами (2004), аналізували виживаність 302 пацієнтів із метастатичним RCC після лікування та рівні VEGF у сироватці крові. Доказано, що відхідні рівні VEGF визначають виживаність без прогресії (CP 1,19;  $p<0,01$ ) та загальну виживаність (CP 1,39;  $p<0,01$ ) у пацієнтів після хірургічного лікування.

Рівень VEGF у сироватці крові може свідчити про ступінь ефективності терапії хворих на RCC таргетними препаратами. T.E. Hutson та співавтори у 2008 р. встановили, що зниження на 14-ту добу лікування пазопанібом рівня VEGF-2 плазми крові у пацієнтів із метастатичним RCC є ознакою кращого прогнозу та збільшення медіані виживаності без прогресії. Результати другої фази клінічних досліджень із визна-чення рівнів VEGF та його розчинних форм (sVEGF-2, sVEGF-3) у плазмі крові пацієнтів із метастатичним RCC на фоні терапії сунітинібом демонструють, що у пацієнтів із позитивною терапевтичною відповіддю на це лікування суттєво знижу-ються рівні наведених маркерів крові по-рівняно з тими особами, в яких спостерігається лише стабілізація перебігу захворю-вання або відсутність терапевтичного ефекту ( $p<0,05$  для кожної з груп) (Deprieto S.E. et al., 2007).

### Буглецева ангідраза IX (CAIX)

CAIX — локалізований на клітинній по-верхні регулятор внутрішньоклітинного pH; також бере участь у процесах клітинної проліферації, канцерогенезу та пухлиної прогресії. Високі концентрації CAIX у крові свідчать про наявність ccRCC (86%,  $p=0,001$ ) (McKiernan J.M. et al., 1999). Також наявна кореляція експресії CAIX зі стадією пухлини та ступенем клітинної атипії (Zhou G.X. et al., 2010), з імовірністю рецидиву пухлини (Li G. et al., 2008) та смертністю (Gilbert S.M. et al., 2006). Результати досліджень M. Atkins та співав-

торів (2005), а також A.J. Pantuck та співавторів (2005) демонструють, що рівень експресії CAIX є біомаркером прогнозування ефективності терапії препаратом інтерлейкіну-2 у хворих на метастатичний RCC.

Подальші дослідження Е.М. Генега та співавторів (2010), показали, що CAIX може вважатися незалежним прогностичним біомаркером RCC. Зараз триває дослідження SELECT, мета якого — визначити цінність CAIX як прогностичного маркера у хворих на RCC (McDermott D.F. et al., 2010).

### Маркери сечі

Враховуючи той факт, що сеча екскретується нирками, у деяких дослідників з'явилася гіпотеза про можливість детекції канцерспеціфічних субстратів у сечі пацієнтів із RCC.

Визначалася концентрація у сечі хворих на RCC білка ядерного матриксу (nuclear matrix protein 22, NMP-22), який успішно застосовується для діагностики раку сечового міхура, щоправда, у дослідженнях було задіяно незначну кількість пацієнтів. Роботи S. Huang та співавторів (2000) демонструють, що серед 30 хворих на рак нирки у 12 (40%) відзначали рівень NMP-22  $\geq 10$  Од/мл. Хібнопозитивний рівень цього маркера спостерігали у 2 пацієнтів контрольної групи.

Ще в одному дослідженні у 23 пацієнтів із RCC відзначали рівні NMP-22 до та після оперативного лікування та порівнювали із результатами у контрольній групі, що складалася із 20 хворих. У групі RCC концентрація NMP-22 була вищою, ніж у здорових досліджуваних (10,65  $\pm$  5,49 та 4,64  $\pm$  3,10 Од/мл відповідно;  $p < 0,001$ ). Через 10 днів після оперативного лікування у групі RCC відзначали статистично достовірне зниження рівнів маркера у сечі до 5,98  $\pm$  3,86 Од/мл ( $p < 0,001$ ) (Ozer G. et al., 2002).

З даними K. Kaya та співавторів (2005), із 38 пацієнтів із RCC у 23 (60,5%) відзначали позитивний NMP-22-тест (порівняно з лише 4 (13,3%) випадками у контрольній групі, в яку було включено 30 досліджуваних із сечокам'яною хворобою та простими кістками нирок).

Ще одним імовірним маркером RCC у сечі є молекула ушкодження нирки людини (human kidney injury molecule-1 — hKIM-1) — трансмембраний протеїн, наявний у низьких концентраціях усередині епітеліальних клітин проксимальних канальців здорових нирок. Експресія hKIM-1 зростає при ішемічному чи токсичному ушкодженні тканини нирок. W.K. Han та співавтори у 2005 р. відзначили, що підвищенню рівнів hKIM-1 в сечі притаманна чутливість 82% та специфічність 90% у 21 досліджуваного пацієнта із ccRCC.

Роботи висновки про цінність маркерів сечі у діагностиці RCC поки неможливо, оскільки відсутні масштабні та вірно побудовані рандомізовані дослідження з цього питання.

### Висновки

- На сьогодні встановлено багато імовірних маркерів раку нирки (miR-1, miR-27, miR-28, miR-106b, miR-133a, miR-141, miR-135a, miR-185, miR-199a, miR-

200c, miR-210, miR-378, miR-451, miR-1233, let-7f-2, VEGF, CAIX, HIF 1α, тирозинкінази pS6K та pAkt, кавеолін-1, сурвін, PTEN та ін.).

2. Визначення маркерів крові технологічно простіше та зручніше, ніж тканинних маркерів. За умови доведення їх діагностичної цінності маркери крові можна застосовувати для скринінгових досліджень захворюваності на рак нирки, а також для раннього виявлення його метастазів та контролю за перебігом захворювання.

3. Пошукуніверсального діагностично-го маркера раку нирки триває. Доведено, що miRNA-профілюванню властива певна цінність у діагностиці RCC. Цей метод діагностики RCC може бути корисним як для встановлення діагнозу «рак нирки», так і для визначення із чутливістю 97–100% гістологічного підтипу раку.

4. Для встановлення справжньої діагностичної цінності miRNA та інших маркерів RCC необхідна більша кількість досліджень із зачлененням значної кількості пацієнтів.

### Список використаної літератури

- Банира О.Б., Шуляк А.В.** (2011) Блокада антигенеза в терапії рака почки: механізми, особливості та перспективи. *Експерим. и клин. урология*, 1: 59–68.
- Возіанов С.О., Банира О.Б., Шуляк О.В. та ін.** (2011) Рак нирки. Кварт, Львів, 150 с.
- Abou Youssif T., Fahmy M.A., Koumakpayi I.H. et al.** (2011) The mammalian target of rapamycin pathway is widely activated without PTEN deletion in renal cell carcinoma metastases. *Cancer*, 117(2): 290–300.
- Atkins M., Regan M., McDermott D. et al.** (2005) Carbonic anhydrase IX expression predicts outcome of interleukin 2 therapy for renal cancer. *Clin. Cancer Res.*, 11(10): 3714–3721.
- Brauch H., Weirich G., Brieger J. et al.** (2000) VHL alterations in human clear cell renal cell carcinoma: association with advanced tumor stage and a novel hot spot mutation. *Cancer Res.*, 60(7): 1942–1948.
- Brenner W., Färber G., Herget T. et al.** (2002) Loss of tumor suppressor protein PTEN during renal carcinogenesis. *Int. J. Cancer*, 99(1): 53–57.
- Cho D., Signoretti S., Dabora S. et al.** (2007) Potential histologic and molecular predictors of response to temsirolimus in patients with advanced renal cell carcinoma. *Clin. Genitourin. Cancer*, 5(6): 379–385.
- Choueiri T.K., Xie W., Kollmannsberger C.K. et al.** (2010) The impact of body mass index (BMI) and body surface area (BSA) on treatment outcome to vascular endothelial growth factor (VEGF)-targeted therapy in metastatic renal cell carcinoma: Results from a large international collaboration. *J. Clin. Oncol.*, 28 (15 suppl.): 4524.
- D’Alterio C., Cindolo L., Portella L. et al.** (2010) Differential role of CD133 and CXCR4 in renal cell carcinoma. *Cell Cycle*, 9(22): 4492–4500.
- Deprimo S.E., Bello C.L., Smeraglia J. et al.** (2007) Circulating protein biomarkers of pharmacodynamic activity of sunitinib in patients with metastatic renal cell carcinoma: modulation of VEGF and VEGF-related proteins. *J. Transl. Med.*, 5: 32.
- Faivre S., Kroemer G., Raymond E. et al.** (2006) Current development of mTOR inhibitors as anticancer agents. *Nat. Rev. Drug Discov.*, 5(8): 671–688.
- Figlin R.A., de Souza P., McDermott D. et al.** (2009) Analysis of PTEN and HIF-1alpha and correlation with efficacy in patients with advanced renal cell carcinoma treated with temsirolimus versus interferon-alpha. *Cancer*, 115(16): 3651–3660.
- Gad S., Sultan-Amar V., Meric J.-B. et al.** (2007) Somatic von Hippel-Lindau (VHL) gene analysis and clinical outcome under antiangiogenic treatment in metastatic renal cell carcinoma: preliminary results. *Targeted Oncol.*, 1(2): 3–6.
- Genega E.M., Ghebremichael M., Najarian R. et al.** (2010) Carbonic anhydrase IX expression in renal neoplasms: correlation with tumor type and grade. *Am. J. Clin. Pathol.*, 134(6): 873–879.
- Gilbert S.M., Whitson J.M., Mansukhani M. et al.** (2006) Detection of carbonic anhydrase-9 gene expression in peripheral blood cells predicts risk of disease recurrence in patients with renal cortical tumors. *Urology*, 67(5): 942–945.
- Gill I.S., Kavoussi L.R., Lane B.R. et al.** (2007) Comparison of 1,800 laparoscopic and open partial nephrectomies for single renal tumors. *J. Urol.*, 178(1): 41–46.
- Gottardo F., Liu C.G., Ferracini M. et al.** (2007) Micro-RNA profiling in kidney and bladder cancers. *Urol. Oncol.*, 25(5): 387–392.
- Han W.K., Alinani A., Wu C.L. et al.** (2005) Human kidney injury molecule-1 is a tissue and urinary tumor marker of renal cell carcinoma. *J. Am. Soc. Nephrol.*, 16(4): 1126–1134.
- Harzstark A.L., Halabi S., Stadler W.M. et al.** (2010) Hypertension is associated with clinical outcome for patients with metastatic renal cell carcinoma (RCC) treated with interferon and bevacizumab on CALGB 90206. 2010 Genitourinary Cancer Symposium, abstr. 351.
- Heinzelmann J., Stafp M., Unrein A. et al.** (2012) Functional analysis and target identification of specific miRNAs involved in development of metastases in renal cell carcinoma. *Eur. Urol.*, Suppl. 11: e307.
- Huang S., Rhee E., Patel H. et al.** (2000) Urinary NMP22 and renal cell carcinoma. *Urology*, 55(2): 227–230.
- Hutson T.E., Davis I.D., Macheilis J.H. et al.** (2008) Biomarker analysis and final efficacy and safety results of a phase II renal cell carcinoma trial with pazopanib (GW786034), a multikinase angiogenesis inhibitor. *J. Clin. Oncol.*, 26 (15s): 5046.
- Jacobsen J., Rasmussen T., Grankvist K., Ljungberg B.** (2000) Vascular endothelial growth factor as prognostic factor in renal cell carcinoma. *J. Urol.*, 163(1): 343–347.
- Kaya K., Ayan S., Gokce G. et al.** (2005) Urinary nuclear matrix protein 22 for diagnosis of renal cell carcinoma. *Scand. J. Urol. Nephrol.*, 39(1): 25–29.
- Kawakami K., Chiyomaru T., Enokida H. et al.** (2011a) Mir-135a as a novel tumor-suppressive microRNA in renal cell carcinoma. *AUA Annual Meeting* 14–19 May 2011. Washington DC, USA: abstr. 114.
- Kawakami K., Enokida H., Chiyomaru T. et al.** (2011b) The functional significance of miR-1 and miR-133a in renal cell carcinoma. *Eur. J. Cancer*, Jul 9 [Epub ahead of print].
- Klatte T., Selligson D.B., Riggs S.B. et al.** (2007) Hypoxia-inducible factor 1 alpha in clear cell renal cell carcinoma. *Clin. Cancer Res.*, 13(24): 7388–7393.
- Li C., Feng Y., Coukos G., Zhang L.** (2009) Therapeutic microRNA strategies in human cancer. *AAPS J.*, 11(4): 747–757.
- Li G., Feng G., Gentil-Perret A. et al.** (2008) Serum carbonic anhydrase 9 level is associated with postoperative recurrence of conventional renal cell cancer. *J. Urol.*, 180(2): 510–513.
- Li M., Rathmell W.K.** (2012) Biomarkers for Renal Cell Carcinoma. *Kidney Cancer: Principles and Practice*, Primo N. Lara Jr., Jonasch Eric (Eds.), Springer: p. 47–65.
- Lidgren A., Hedberg Y., Grankvist K. et al.** (2006) Hypoxia-inducible factor 1alpha expression in renal cell carcinoma analyzed by tissue microarray. *Eur. Urol.*, 50(6): 1272–1277.
- Liu H., Brannon A.R., Reddy A.R. et al.** (2010) Identifying mRNA targets of microRNA dysregulated in cancer: with application to clear cell Renal Cell Carcinoma. *BMC Syst. Biol.*, 4: 51.
- Mahotka C., Krieg T., Krieg A. et al.** (2002) Distinct in vivo expression patterns of survivin splice

- variants in renal cell carcinomas. *Int. J. Cancer*, 100(1): 30–36.
- McDermott D.F., Ghebremichael M.S., Signoretti S. et al.** (2010) The high-dose aldesleukin (HD IL-2) SELECT trial in patients with metastatic renal cell carcinoma. *J. Clin. Oncol.*, 2010 ASCO Annual Meeting Proceedings, 15(28): suppl. 4514.
- McKernan J.M., Buttryan R., Bander N.H. et al.** (1999) The detection of renal carcinoma cells in the peripheral blood with an enhanced reverse transcriptase-polymerase chain reaction assay for MN/CA9. *Cancer*, 86(3): 492–497.
- Mraz M., Pospisilova S., Malinova K. et al.** (2009) MicroRNAs in chronic lymphocytic leukemia pathogenesis and disease subtypes. *Leuk. Lymphoma*, 50(3): 506–509.
- Na X., Wu G., Ryan C.K. et al.** (2003) Over-production of vascular endothelial growth factor related to von Hippel-Lindau tumor suppressor gene mutations and hypoxia-inducible factor-1 alpha expression in renal cell carcinomas. *J. Urol.*, 170 (2 Pt. 1): 588–592.
- Nakada C., Matsuura K., Tsukamoto Y. et al.** (2008) Genome-wide microRNA expression profiling in renal cell carcinoma: significant down-regulation of miR-141 and miR-200c. *J. Pathol.*, 216(4): 418–427.
- Negrer S., Perol D., Menetrier-Caux C. et al.** (2004) Interleukin-6, interleukin-10, and vascular endothelial growth factor in metastatic renal cell carcinoma: prognostic value of interleukin-6 — from the Groupe Francais d'Immunotherapy. *J. Clin. Oncol.*, 22(12): 2371–2378.
- Nielsen B.S., Jorgensen S., Fog J.U. et al.** (2011) High levels of microRNA-21 in the stroma of colorectal cancers predict short disease-free survival in stage II colon cancer patients. *Clin. Exp. Metastasis*, 28(1): 27–38.
- Ozer G., Altinel M., Kocak B. et al.** (2002) Value of urinary NMP-22 in patients with renal cell carcinoma. *Urology*, 60(4): 593–597.
- Pantuck A.J., Fang Z., Liu X. et al.** (2005) Gene expression and tissue microarray analysis of interleukin-2 complete responders in patients with metastatic renal cell carcinoma. *Proc. Am. Soc. Clin. Oncol.*, 4: 535.
- Pantuck A.J., Seligson D.B., Klatte T. et al.** (2007) Prognostic relevance of the mTOR pathway in renal cell carcinoma: implications for molecular patient selection for targeted therapy. *Cancer*, 109(11): 2257–2267.
- Patel P.H., Chadalavada R.S., Ishill N.M. et al.** (2008) Hypoxia-inducible factor (HIF) 1 $\alpha$  and 2 $\alpha$  levels in cell lines and human tumor predicts response to sunitinib in renal cell carcinoma (RCC). *J. Clin. Oncol.*, 26 (15s): 5008.
- Pineau P., Volinia S., McJunkin K. et al.** (2010) miR-221 overexpression contributes to liver tumorigenesis. *Proc. Natl. Acad. Sci. USA*, 107(1): 264–269.
- Redova M., Poprach A., Nekvindova J. et al.** (2012) Circulating miR-378 and miR-451 in serum are potential biomarkers for renal cell carcinoma. *J. Transl. Med.*, 10(1): 55.
- Rini B.I., Small E.J.** (2005) Biology and clinical development of vascular endothelial growth factor-targeted therapy in renal cell carcinoma. *J. Clin. Oncol.*, 23(5): 1028–1043.
- Rini B.I., Cohen D.P., Lu D.R. et al.** (2011) Hypertension as a biomarker of efficacy in patients with metastatic renal cell carcinoma treated with sunitinib. *J. Natl. Cancer Inst.*, 103(9): 763–773.
- Rini B.I., Zhou M., Aydin H. et al.** (2010) Identification of prognostic genomic markers in patients with localized clear cell renal cell carcinoma (ccRCC). *J. Clin. Oncol.*, 28 (15s): 4501.
- Rioux-Leclercq N., Fergelot P., Zerrouki S. et al.** (2007) Plasma level and tissue expression of vascular endothelial growth factor in renal cell carcinoma: a prospective study of 50 cases. *Hum. Pathol.*, 38(10): 1489–1495.
- Russo P., Jang T.L., Pettus J.A. et al.** (2008) Survival rates after resection for localized kidney cancer: 1989 to 2004. *Cancer*, 113(1): 84–96.
- Shariat S.F., Anwari V.A., Lamb D.J. et al.** (2004a) Association of preoperative plasma levels of vascular endothelial growth factor and soluble vascular cell adhesion molecule-1 with lymph node status and biochemical progression after radical prostatectomy. *J. Clin. Oncol.*, 22(9): 1655–1663.
- Shariat S.F., Lotan Y., Saboorian H. et al.** (2004b) Survivin expression is associated with features of biologically aggressive prostate carcinoma. *Cancer*, 100(4): 751–757.
- Shariat S.F., Karakiewicz P.I., Godoy G. et al.** (2009) Survivin as a prognostic marker for urothelial carcinoma of the bladder: a multicenter external validation study. *Clin. Cancer Res.*, 15(22): 7012–7019.
- Slaby O., Jancovicova J., Lakomy R. et al.** (2010) Expression of miRNA-106b in conventional renal cell carcinoma is a potential marker for prediction of early metastasis after nephrectomy. *J. Exp. Clin. Cancer Res.*, 29: 90.
- Staller P., Sulitkova J., Lisztwan J. et al.** (2003) Chemokine receptor CXCR4 downregulated by von Hippel-Lindau tumour suppressor pVHL. *Nature*, 425(6955): 307–311.
- Tanaka T., Kitamura H., Torigoe T. et al.** (2012) PHD3 expression is a predictor of progression-free survival in clear cell renal cell carcinoma. *Eur. Urol.*, 11 (suppl): e199.
- Tsukigawa M., Bilim V., Yuuki K. et al.** (2011) An analysis of low miR-199a expression in renal cell carcinoma (RCC) and its association with regulation of GSK-3beta. *J. Clin. Oncol.*, 29 (suppl): e15020.
- Valera V.A., Walter B.A., Linehan W.M., Merino M.J.** (2011) Regulatory Effects of microRNA-92 (miR-92) on VHL Gene Expression and the Hypoxic Activation of miR-210 in Clear Cell Renal Cell Carcinoma. *J. Cancer*, 2: 515–526.
- Velickovic M., Delahunt B., McIver B., Grebe S.K.** (2002) Intragenic PTEN/MMAC1 loss of heterozygosity in conventional (clear-cell) renal cell carcinoma is associated with poor patient prognosis. *Mod. Pathol.*, 15(5): 479–485.
- Vergho D.C., Kalogirou C., Spahn M. et al.** (2012) MiR200c as outcome predictor of renal cell cancer patients with tumor thrombus of the inferior vena cava. *Eur. Urol.*, 11 (suppl): e314.
- Volpe A., Mattar K., Finelli A. et al.** (2008) Contemporary results of percutaneous biopsy of 100 small renal masses: a single center experience. *J. Urol.*, 180(6): 2333–2337.
- Wehler T.C., Graf C., Biesterfeld S. et al.** (2008) Strong expression of chemokine receptor CXCR4 by renal cell carcinoma correlates with advanced disease. *J. Oncol.*, 2008 (suppl.): 626340.
- Wulfken L.M., Moritz R., Ohmann C. et al.** (2011) MicroRNAs in renal cell carcinoma: diagnostic implications of serum miR-1233 levels. *PLoS One*, 6(9): e25787.
- Youssef Y.M., White N.M., Grigull J. et al.** (2011) Accurate molecular classification of kidney cancer subtypes using microRNA signature. *Eur. Urol.*, 59(5): 721–730.
- Zamparese R., Pannone G., Santoro A. et al.** (2008) Survivin expression in renal cell carcinoma. *Cancer Invest.*, 26(9): 929–935.
- Zhou G.X., Ireland J., Rayman P. et al.** (2010) Quantification of carbonic anhydrase IX expression in serum and tissue of renal cell carcinoma patients using enzyme-linked immunosorbent assay: prognostic and diagnostic potentials. *Urology*, 75(2): 257–261.

## Рак почки: поиск универсального маркера

О.Б. Баныра, А.А. Стой, А.В. Шуляк

**Резюме.** Рак почки – распространенная онкоурологическая патология. На протяжении последнего десятилетия в Украине и большинстве стран мира наблюдается стойкая тенденция к постепенному возрастанию заболеваемости раком почки. В то время как маркеры опухолевого роста уже давно и широко используются для диагностики и контроля течения при раке предстательной железы, мочевого пузыря, яичка, поиск маркера рака почки находится пока на начальных этапах. В обзорной статье освещены результаты основных современных исследований, направленных на поиск маркера рака почки, указаны основные вероятные претенденты на эту роль.

**Ключевые слова:** рак почки, маркер, микро-РНК.

## Renal cell carcinoma: searching for universal marker

О.В. Баныра, О.О. Стой, О.В. Шуляк

**Summary.** Renal cell carcinoma (RCC) is wide-spread oncurological pathology. RCC morbidity increased in Ukraine and overall the world during the last decades. While tumor markers for diagnosing and monitoring of prostate, bladder and testicular cancer are widely used, the search of kidney cancer markers are only on the initial stages. Our review article highlights the main results of contemporary researches aimed at finding a marker of kidney cancer. We also tried to identify the main likely candidates for this role.

**Key words:** renal cell carcinoma, tumor marker, microRNA.

### Адреса для листування:

Шуляк Олександр Владиславович  
79059, Львів, вул. Миколайчука, 9  
Лікарня швидкої медичної допомоги  
E-mail: www.avshulyak@yandex.ua